

ÁLBUM FOTOGRÁFICO
978 (28-39)
LLANO DEL BEAL

COORDENADAS FOTOS 978

Nº Foto	X	Y
28-39-IN-FL-F 1	690563	4161693
28-39-IN-FL-F 2	690609	4161647
28-39-IN-FL-F 3	691058	4165327
28-39-IN-FL-F 4	691900	4165850
28-39-IN-FL-F 5	691914	4166131
28-39-IN-FL-F 6	691915	4166100
28-39-IN-FL-F 7	690700	4164150
28-39-IN-FL-F 8	689698	4163648
28-39-IN-FL-F 9	701429	4168405
28-39-IN-FL-F 10	699440	4164961
28-39-IN-FL-F 11	700149	4164289
28-39-IN-FL-F 12	700133	4164215
28-39-IN-FL-F 13	700069	4164183
28-39-IN-FL-F 14	700070	4164185
28-39-IN-FL-F 15	700080	4164712
28-39-IN-FL-F 16	698371	4163961
28-39-IN-FL-F 17	697868	4163908
28-39-IN-FL-F 18	703932	4167924
28-39-IN-FL-F 19	690928	4164679
28-39-IN-FL-F 20	690983	4164660
28-39-IN-FL-F 21	691131	4164775
28-39-IN-FL-F 22	691158	4164868
28-39-IN-FL-F 23	691675	4166723
28-39-IN-FG-F 24	693274	4165528
28-39-IN-FG-F 25	697460	4164840
28-39-IN-FG-F 26	697503	4165660
28-39-IN-FG-F 27	703047	4167551
28-39-IN-FG-F 28	693609	4165542
28-39-IN-FG-F 29	703853	4167602
28-39-IN-FG-F 30	696678	4164039
28-39-IN-FG-F 31	690620	4161568
28-39-IN-FG-F 32	690974	4161436
28-39-IN-FG-F 33	697545	4164213
28-39-IN-FG-F 34	691761	4163124



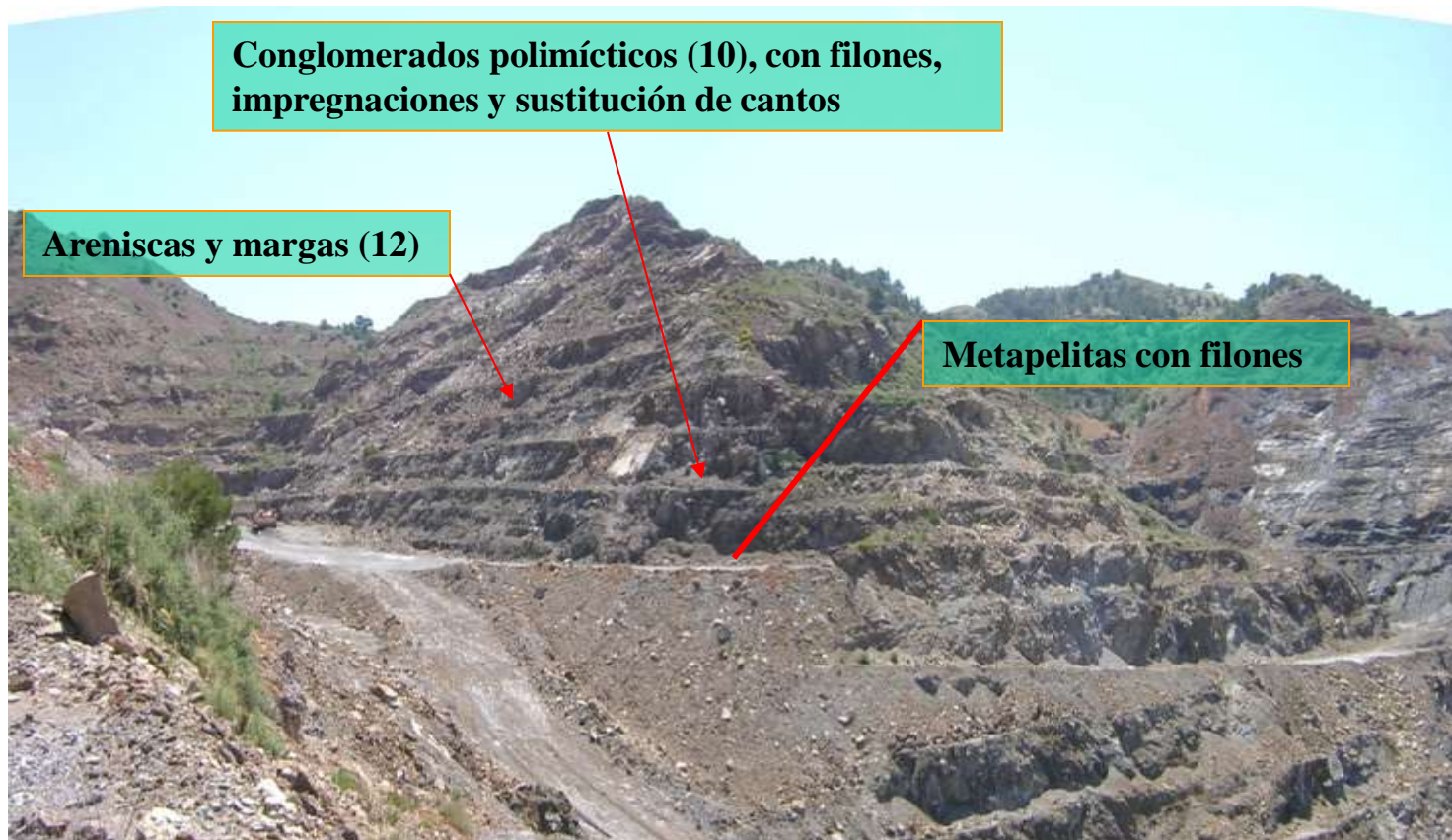
28-39-IN-FL-F 1.- Panorámica de la Bahía de Portman desde la punta oriental. Puede observarse el estado actual del relleno antrópico de esta bahía.



28-39-IN-FL-F 2.- Vista desde el Faro del sector oriental de la Bahía de Portman. Pueden observarse los abanicos aluviales (20) rojos, sobre los cuarzoesquistos y cuarcitas beige claro (4) del Manto del Mulhacen



28-39-IN-FL-F 3.- Panorámica hacia el norte, desde el Collado del Beal. En primer término, instalaciones del grupo minero Buen Consejo, segundo plano la localidad de Llano del Beal y finalmente el Mar menor con la referencia del afloramiento volcánico de Los Alcázares.



28-39-IN-FL-F 4.- Minas de Cartes (691900; 4165850). Filones de hasta 5 m, en las metapelitas (6) de la U. De Cabo Tiñoso y en los depósitos del Mioceno superior. Conglomerados (10), con impregnaciones y sustitución metasomática de cantos carbonatados



28-39-IN-FL-F 5. Conglomerados polimícticos (10), con impregnaciones y sustitución metasomática de cantos carbonatado por menas de Fe, Cu, Pb..etc. Minas de Cartes



**28-39-IN-FL-F 6.- Eslumpamientos en las areniscas y margas en facies turbidíticas (12).
Minas de Cartes**



28-39-IN-FL-F 7.- La escombrera de Mina Secretaria (690,70; 4164,15) en Peña del Águila. Filoniana en los carbonatos (9), de la Unidad de S. Julian.



28-39-IN-FL-F 8.- Panorámica de las labores mineras en la ladera meridional de la Peña del Águila. Observese la dificultad para poder encontrar afloramientos “in situ” y establecer su continuidad cartográfica



28-39-IN-FL-F 9.- Panorámica N-S de las Salinas de Marchamalo. Al fondo los Cabezos del Atalayón y de Los Cuervos y las urbanizaciones del Cabo de Palos



28-39-IN-FL-F 10.- Panorámica norte-sur del Parque Regional de Calblanque. Puede observarse el cordón litoral externo y el lagoon donde se encuentran las salinas de Rasell.



28-39-IN-FL-F 11.- Desde el cordón litoral (25), vista hacia el oeste de las dunas móviles (22) y del lagoon. Al fondo los mármoles (5), del Cabezo de la Fuente.



28-39-IN-FL-F 12.- Areniscas calcáreas bioclásticas y oolíticas, con estratificación cruzada plana, en el cordón litoral del Parque Regional de Calblanque



28-39-IN-FL-F 13.- Vista del desarrollo del cordón litoral. Obsérvese la estratificación cruzada plana de ángulo variable.



28-39-IN-FL-F 14.- Espectaculares bioturbaciones en las areniscas calcáreas bioclásticas del cordón dunar



28-39-IN-FL-F 15.- El lagoon de Calblanque y las Salinas de Rasell. Al fondo el Cabezo de la Fuente.

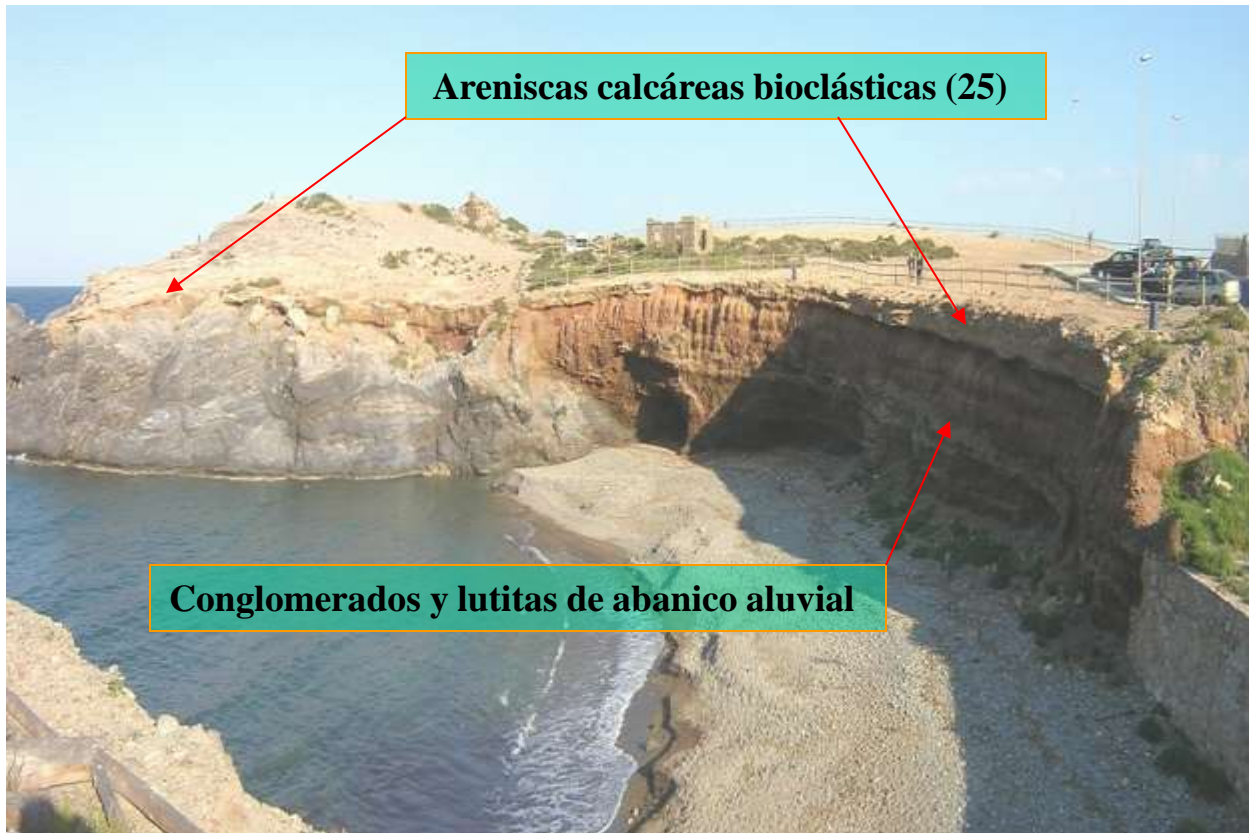


Cabezo de la Fuente. Mármoles (5)

28-39-IN-FL-F 16.- Panorámica del sector occidental del Parque Regional de Calblanque. Cordón dunar (25), sobre los esquistos y micasquistos grafitosos (1) del Manto del Veleta.



28-39-IN-FL-F 17.- Sector occidental del Parque Regional de Calblanque . Cordón dunar (25) y dunas móviles (22), rodando sobre los esquistos grafitosos (1) del Manto del Veleta.



28-39-IN-FL-F 18.- Cala Fria en Cabo de Palos. Conglomerados rojos de abanico aluvial y sobre ellos un nivel marino de playa/cordón litoral



28-39-IN-FL-F 19.- Calizas arenosas y areniscas calcáreas bioclásticas (11), en la ladera nororiental de la Peña del Águila



28-39-IN-FL-F 20.- Conglomerados matrizsoportados, con cemento carbonatado, en paso a carbonatos con cantos y bioclastos. Contacto de las unidades 10 y 11. Cuenca terciaria entre la Peña del Águila y el Cabezo de San Juan.



28-39-IN-FL-F 21.- Areniscas, limolitas micáceas y margas (12), en secuencias gradadas, con fuerte metasomatismo



28-39-IN-FL-F 22.- Detalle de las facies turbidíticas y de su aspecto que denota la diagénesis profunda y/o metamorfismo térmico que han sufrido por el ascenso de las masas que ocasionaron los volcanismos del Campo de Cartagena.



28-39-IN-FL-F 23.- Proyectos de rehabilitaci3n de las escombreras y vaciaderos de mina que tapizan el sector entre Llano del Beal y El Estrecho.



28-39-IN-FG-F 24.-Esquistos y cuarzoesquistos del Manto del Veleta. Nevado Filábride. Sector Atamaría.



28-39-IN-FG-F 25.-Aspecto de la zona de cizalla en el contacto Alpujarride – Nevado-Filábride en el sector de Cabo de Palos, dentro de filitas de la unidad de San Julián.



28-39-IN-FG-F 26.-Estructuras de extensión en metapelitas de la unidad de San Julián. Sector Jordanas.



28-39-IN-FG-F 27.-Nevado Filábride en Cabo de Palos. Esquistos grafitosos en la parte inferior y cuarzoesquistos rosáceos en la superior.



28-39-IN-FG-F 28.- Pliegues decimétricos en cuarzosquitos nevadofilábrides. Manto del Mulhacén. Sector Atamaría.



28-39-IN-FG-F 29.- Carbonatos alpujárrides intensamente tectonizados sobre esquistos Nevado Filábrides. Cabo de Palos.



28-39-IN-FG-F 30.-Milonitas en el contacto Manto del Veleta y Manto del Mulhacén. Sector



28-39-IN-FG-F 31.-Panorámica de la Bahía de Portmán destacando en el relieve los carbonatos de la unidad de San Julián. Límite de las Hojas de Cartagena y Llano del Beal.



28-39-IN-FG-F 32.-Aspecto de campo de los esquistos grafitosos (Manto del Veleta) y cuarzoesquistos con granates (M. del Mulhacén) nevadofilábrides de la franja costera en la Hoja del Llano del Beal. Sector de Punta Negra.



28-39-IN-FG-F 33.- Panorámica de los relieves costeros de la Hoja del Llano del Beal, constituidos por esquistos nevadofilábrides.



28-39-IN-FG-F 34- Tomada hacia el sur. Zona de cizalla en filitas de la unidad de San Julián, con diferentes estructuras de extensión pertenecientes a varias generaciones, con sentidos de traslación del bloque de techo tanto hacia el SO como al SE.